

ПРЕПРИНТ № 8-355

т

ИВТАН

РОССИЙСКАЯ НАУЧНОЕ
АКАДЕМИЯ
НАУК
ОБЪЕДИНЕНИЕ
"ИВТАН"

RUSSIAN SCIENTIFIC
ACADEMY ASSOCIATION
OF SCIENCES "IVTAN"

МОСКВА
1992

А.П.Деревянко
С.А.Медин

КВАЗИНУЛЬМЕРНАЯ
МОДЕЛЬ УСКОРЕНИЯ
ПЛАЗМЕННОГО СГУСТКА
В КОАКСИАЛЕ

А.П.Деревянко, С.А.Медин

Квазинульмерная модель ускорения плазменного
сгустка в коаксиале

Препринт ИВТАН N 8-355. - М.:1992, с.20

Данная работа посвящена численному моделированию плазмодинамического размыкателя (ПДР) (Plasma Flow Switch) на стадии электровзрыва и ускорения сгустка в вакуумной электромагнитной пушке, что позволяет использовать ее результаты для систем, использующих подобный метод ускорения рабочего тела. В работе представлена квазинульмерная (QOD) модель расчета динамики (включая электровзрывы) плазменного сгустка в вакуумном электромагнитном ускорителе. Модель позволяет получить следующие временные зависимости: напряжения на ёмкостном накопителе; разрядного тока; положения и скорости центра масс сгустка; толщины, температуры и скорости разлета сгустка. В расчете учитываются реальные свойства материала сгустка (алюминий) и потери на излучение. С помощью программного продукта, развитого на основе этой модели, проведены вычисления для установки Shiva Star. Сравнение экспериментальных и расчетных характеристик показывает, что данная модель адекватно описывает поведение разрядного тока, его максимальное значение и время достижения этого максимального значения. Кроме этого вычисления дают правильное значение скорости центра масс сгустка при вылете из ствола ускорителя. В работе дается объяснение обнаруженному явлению пульсаций сгустка.

Ил.13. Библиогр. 25 наим.



Научное объединение "ИВТАН" Российской академии наук, 1992

Введение

Схема ПДР представлена на рис. 1. В начале коаксиальной вакуумной плазменной пушки расположены "запал" - сетка из металлических (Al) проволочек, иногда по движению плазмы ставится диэлектрическая пленка ограничитель [24], к которому подводится энергия от накопителя. Через время, необходимое для испарения и инициализации запала, получившийся плазменный сгусток под действием пондеромоторных сил начинает ускоряться к концу плазменной пушки. Далее основная масса плазмы выпадает из пушки, а низкоплотная плазма, имеющая малые скорости, (например, из приэлектродных областей) начинает быстро расширяться по направлению к нагрузке (обычно лайнеру), принося в эту область накопленную магнитную энергию.

Так как на низкоплотную плазму действует то же самое магнитное давление, а плотность плазмы упала существенно, то скорости потока U резко возрастают, а с ними возрастает и производение $U \times B$, интеграл от которого определяет выходное напряжение ПДР, много большее начального напряжения на конденсаторной батарее. Видимо наиболее "продвинутыми" в развитии ПДР являются эксперименты описанные в работе [8]. В начале коаксиальной плазменной пушки (с внешним радиусом 10,16 см и внутренним 7,62 см) располагается "плотенка" из 120 алюминиевых проволочек диаметром 50,8 мм, используемая для инициализации разряда (рис. 1). Далее располагается "барьер" из майларовой пленки толщиной 3 мкм для выравнивания фронта образующегося плазменного сгустка. Полная масса "плотенки" и пленки m_{tot} приблизительно 120 кг.

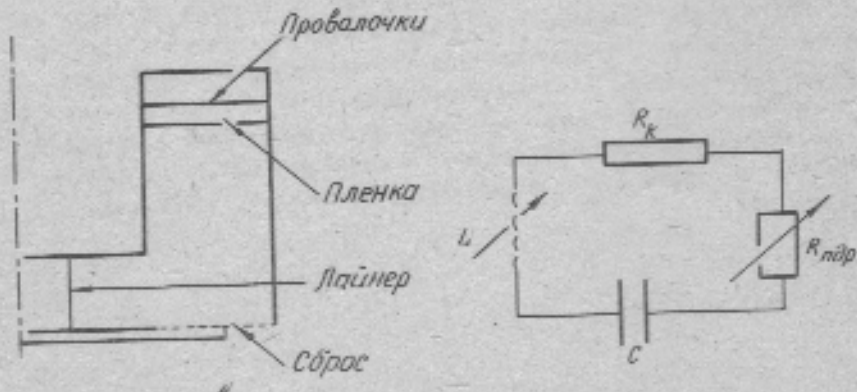


Рис. 1. Схема плазмо-динамического разынкаталя
Рис. 2. Упрощенная электрическая схема

В течении первых 3,5-3,8 мкс плазменный сгусток проходит приблизительно 5,5 см, ускоряясь до скоростей порядка 7-10 см/мкс при токе 12-13 МА. Когда сгусток покидает магнит, ток переключается на цилиндрический лайнер, который сжимается на оси системы, генерируя излучение.

В эксперименте используется конденсаторная батарея ёмкостью $C=1300 \text{ мКФ}$, заряженная до напряжения $U_0 = 95 \text{ кВ}$ ($CU_0^2/2 = 5,9 \text{ МДж}$). Её паразитная индуктивность $L_c = 16,5 \text{ мГн}$.

В целом, анализ литературы по ПДР позволяет сделать вывод о возможности использования их в качестве мощных индуктивных импульсных систем для сжатия лайнеров и Z-пинчей, источников рентгеновских лучей, причем первичными источниками энергии могут являться относительно недорогие системы.

Система оценок

Рассмотрим аналитическую модель, позволяющую построить систему оценок, необходимую для обоснования квазипульсной модели.

1.1. Модель оценок

Эквивалентная электрическая схема установки представлена на рис. 2, где C - ёмкость конденсаторной батареи, L_c , R_c - индуктивность и сопротивление конденсаторной батареи и подводящих проводов, $L_{\text{пр}}$, $R_{\text{пр}}$ - переменные индуктивность и сопротивление ПДР. Считается, что ёмкость ПДР преобразжено мала по сравнению с ёмкостью конденсаторной батареи.

Уравнение такой цепи записывается в виде:

$$\frac{d^2}{dt^2} U + \left(\frac{1}{L} \frac{dL}{dt} + \frac{R}{L} \right) \frac{d}{dt} U + \frac{1}{CL} U = 0, \quad (1.1)$$

где U - напряжение на конденсаторной батарее, $L = L_c + L_{\text{пр}}$, $R = R_c + R_{\text{пр}}$.

Для получения качественных результатов рассмотрим простейшую модель, в которой считается, что плазменный сгусток есть проводящая колыцо, не меняющая своих свойств в процессе выстрела. Пренебрежем индуктивностью сгустка, тогда $L_{\text{пр}} = L_c + L_k$, где L_k есть индуктивность магнита. Она линейным образом зависит от расстояния, проходимого центром масс сгустка x :

$$L_k = F x, \quad (1.2)$$

где $F = \frac{\mu_0}{2\pi} \ln(r_2/r_1)$ есть погонная индуктивность магнита, r_1 и r_2 его внутренний и внешний радиусы.

Также пусть $\frac{dL}{dt} \ll R$, а зависимость сопротивления от времени можно пренебречь. Тогда уравнение цепи (1.1) можно переписать так:

$$\frac{d^2}{dt^2} U + \frac{R}{L} \frac{d}{dt} U + \frac{1}{LC} U = 0 \quad (1.3)$$

Уравнение движения имеет вид:

$$m \frac{d}{dt} v_c = \frac{1}{2} PI^2, \quad v_c = \frac{d}{dt} x_c, \quad (1.4)$$

где m - масса колеса, I - ток в цепи. Оно подробно выводится далее для более общей модели.

Рассматривая достаточно малые времена, систему уравнений (1.3) и (1.4) можно расщепить ($L=L_c$). Тогда решение (1.3) есть:

$$U = U_0 e^{-\alpha t} (\cos \omega t + \frac{\alpha}{\omega} \sin \omega t),$$

где $\omega = \sqrt{1/L_c^2 C - R^2/4L_c}$, $\alpha = R/2L_c$. Для более компактной записи выражений примем что $R^2/4L_c \ll 1/L_c C$, тогда $\omega = \omega_0 = 1/\sqrt{LC}$. При малых временах $t \ll 1$ выражение для тока имеет вид:

$$I = -CV_0 \frac{\omega^2}{\alpha} t \quad (1.5)$$

Подставим выражение (1.5) в (1.4) и проинтегрировав, имеем

$$v_c = \frac{1}{6} \frac{FV_0^2}{mL_c^2} t^3, \quad (1.6)$$

$$= \frac{1}{24} \frac{FV_0^2}{mL_c^2} t^4 - \alpha t^4. \quad (1.7)$$

1.2. Сопротивление скин-слоя

Оценим значение сопротивления скин-слоя, возникающего в электродах колесика

$$R_s(t) = \int_0^{x_c} \rho \frac{1}{\delta_s(\xi)} \frac{dx}{2\pi r}, \quad (1.8)$$

где ρ - удельное сопротивление материала электрода, r - его радиус, $\delta_s(\xi)$ - толщина скин-слоя в точке ξ . Ее можно оценить как

$$\delta_s(\xi) = 2 \sqrt{\rho/\mu(t-t^*(\xi))}, \quad (1.9)$$

где $t^*(\xi)$ - время "прибытия" струек в точку ξ , μ - абсолютная магнитная проницаемость материала электрода. Ясно, что чем выше скорость движения разряда, тем выше сопротивление скин-слоя. Исходя из того, что решение (1.6) в каждый момент времени дает завышенное значение скорости, можно утверждать, что использование закона (1.7) дает значение R больше реального. Итак,

$$t^*(\xi) = \left(\frac{\xi}{a} \right)^{1/4}. \quad (1.10)$$

После интегрирования имеем

$$R_z = 0,3 \sqrt{\mu\rho} \frac{1}{r} at^{7/2}. \quad (1.11)$$

Так как интересующее нас развитие ПДР ограничивается четвертью периода, то

$$R_{z,\max} \sim \sqrt{\mu\rho} \frac{1}{r} \frac{FU^2 C^{7/4}}{\pi L_0^{1/4}}. \quad (1.12)$$

Для рассматриваемого эксперимента $R_{z,\max} \sim 10^{-3}$ Ом. Так как оценка зависит и R_z зависит от времени в сильной степени, то для начальных времен развития ПДР R_z иссущественно по сравнению с сопротивлением цепи $\sim 10^{-3}$.

1.3. Значимость эрозии электродов

Производок спекки изменения массы объекта, вызванного эрозией медных электродов. Масса выброшенного металла при катодном распылении пропорциональна заряду протекшему через электроды. Коэффициент пропорциональности α для меди порядка $3 \cdot 10^{-6}$ кг/Кл. Прирост массы, вызванный данным механизмом есть

$$\Delta m_1 = \alpha I_0 t_0 / \omega_0 = 70 \text{ мкг}. \quad (1.13)$$

Видно, что увеличение массы сгустка даже для одного лавинного механизма довольно значительно (масса самого сгустка 120 мкг) и это обстоятельство должно быть учтено в последующем развитии модели. Нужно отметить, что скорость эрозии пропорциональна току и поэтому для начальных времен развития разряда скорость прироста массы мала и, следовательно, может быть исключена из рассмотрения.

В модели, рассматриваемой ниже, учитываются реальные свойства материала сгустка (алюминий) и дополнительный учет материала электродов (меди) привел бы к чрезмерному усложнению расчетов, поэтому эффекты эрозии не включаются в рассмотрение.

2. Квазимультиперная модель

Модель, представленная в этом параграфе, кроме поведений тока, скорости, напряжения и координаты, дает также и толщину сгустка с его температурой, скорость разлета сгустка и давлением. Полная система уравнений приведена в пункте 2.6.

2.1 Модельные распределения параметров

Примем, что распределения давления P и температуры T сгустка не зависят от координат внутри токовой оболочки. Плотность тока j имеет только радиальную составляющую и не зависит от аксиальной

координаты. Отсюда следует, что выполняется зависимость

$$j(r) = I / (2\pi r \delta), \quad (2.1)$$

напряженность магнитного поля в линейно спадает вдоль толщины сгустка (рис. 3) и внутри сгустка (ξ - внутренняя координата) выполняется соотношение:

$$B(r, \xi) = \frac{\mu I}{2\pi r} \left(1 - \frac{\xi}{\delta}\right). \quad (2.2)$$

Вне сгустка : справа $B = 0$, слева $B = \frac{\mu I}{2\pi r}$

условие однородности распределения плотности тока по толщине сгустка равносильно требованию, что время диффузии магнитного поля $\tau = \mu b^2 / \eta$ много меньше характерных времен задачи (1 мкс). Данное условие хорошо выполняется для стадии электроразрыва ($\tau_e \approx 10^{-5}$ - 10^{-4} мкс), однако в плазменной области нарушается ($\tau_e = 1$ мкс) и, следовательно, нульмерной моделью распределение поля корректно описано быть не может и в этом случае более адекватное представление дает модель плазмы с вложенным магнитным полем, описанная в работе [1]. Тем не менее, для того чтобы оставаться в рамках нульмерной модели, далее будет предполагаться справедливость (2.2).

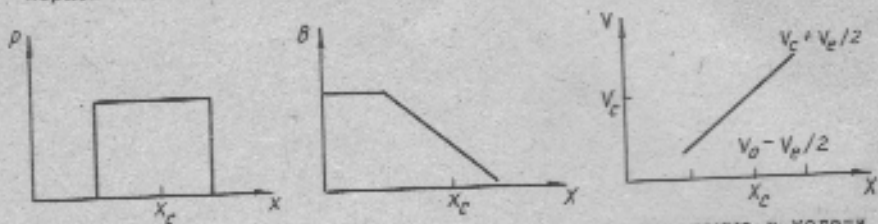


Рис. 3. Распределения основных параметров, используемые в модели

Зависимости B и j от радиальной координаты приводят к зависимости магнитной силы от r как $1/r^2$. Это, несомненно, должно приводить к искривлению поверхности сгустка и перераспределению массы. Этими эффектами в рамках нульмерной модели пренебрегаем. Распределение скорости внутри сгустка принимается линейным (см. рис.3).

$$U = U_c - U_e/2 + U_e \frac{\xi}{\delta}, \quad \xi \in [0, \delta]. \quad (2.3)$$

Отметим, что давление на границах сгустка принимается равным нулю.

2.2. Масса

Будем считать, что масса сгустка остается постоянной и равной первоначальной массе фольги с плёнкой (m_{tot}). При этом пренебрегаем эрозией стенок козырька, массой газа наполняющего систему, и различного типа неустойчивостями. Можно записать следующее соотношение:

$$m = \rho S \delta$$

(2.4)

где S - площадь сгустка.

2.3. Импульс

Закон сохранения импульса в свободном виде для рассматриваемой системы можно записать как

$$\frac{d}{dt} \int \rho v(\xi) d\xi = \sum F_x , \quad (2.5)$$

где $\sum F_x$ сумма сил (в том числе давления) действующих на выделенный объем.

Уравнение движения центра масс

Пренебрежем силами трения. Пронтегрируем в уравнении (2.5) по объему всего сгустка.

$$\frac{d}{dt} \rho \int_0^\delta v(\xi) d\xi = P_b(0) , \quad (2.6)$$

$$P_b(0) = \frac{1}{S} \int_{r_1}^{r_2} \frac{B^2(r)}{2\mu} 2\pi r dr = \frac{\mu I^2}{2} \frac{1}{S} , \quad (2.7)$$

а $B(r)$ дается выражением (2.2) при $\xi = 0$. Выполнив интегрирование, с учетом выражений (2.5), (2.6), (2.7) имеем

$$\frac{d}{dt} \rho v_c = \mu I^2 / 2 , \quad (2.8)$$

$$\frac{d}{dt} \rho v_c = v_c . \quad (2.9)$$

Уравнение разлета

Следуя работе [4], запишем уравнение (2.5) для двух полуобъемов: для полуобъема $[0, \delta/2]$:

$$\frac{d}{dt} \int_0^{\delta/2} \rho v(\xi) d\xi = -p - P_b(\delta/2) + P(0) \quad (2.10)$$

и для полуобъема $[\delta/2, \delta]$:

$$\frac{d}{dt} \int_{\delta/2}^\delta \rho v(\xi) d\xi = P_b(\delta/2) + p , \quad (2.11)$$

где p есть газодинамическое давление внутри сгустка, а $P_b(\delta/2)$ - магнитное давление при $\xi = \delta/2$. Вычтя выражение (2.10) из (2.11), и учитя, что $P_b(\delta/2) = P_b(0)/4$, получим

$$n \frac{d}{dt} v = 8 \rho S - PI^2, \quad (2.12)$$

$$\frac{d}{dt} \delta = v. \quad (2.13)$$

Из данного вывода следует интерпретация (динамическая) толщиной сгустка как удвоенного расстояния между центрами масс половинок (массовых) сгустка и скорости разлета как производной от этой величины. Если рассматривать изоцентрический разлет сгустка в пустоту, то скорость разлета, полученная таким образом, будет занижена по сравнению с действительной, так как не будет учитывать вакуумные хвосты сгустка. Основываясь на этом выводе, можно утверждать, что модель дает заниженное значение.

2.4. Уравнение цепи

Уравнение электромагнитной индукции

$$\oint (\vec{E}_{\text{own}} d\vec{l}) = - \frac{d}{dt} \left[\int (\vec{B}, d\alpha) \right]$$

записем для контура 1234, представленного на рис. 4, где 23 и 14 являются частями внутреннего и внешнего электродов ковшика, 34 – левая граница сечения сгустка (со координатой $x_c = \delta/2$), V – напряжение, развязанное внешней цепью ПДР. Поток B через этот контур есть $PI(x_c = \delta/2)$, в

$$\oint (\vec{E}_{\text{own}} d\vec{l}) = -U + \int_{x_1}^{x_2} j(r) \frac{\partial \vec{B}}{\partial r} dr$$

где σ – проводимость сгустка, $j(r)$ дается выражением (2.1).

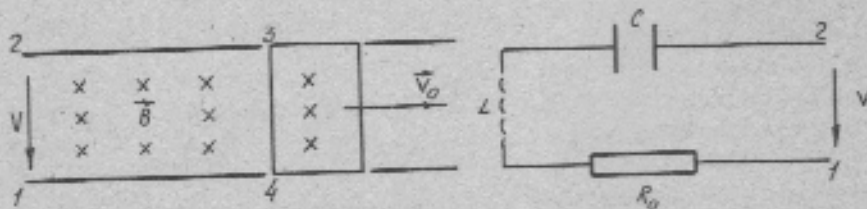


Рис. 4. Контур 1234 используемый при интегрировании уравнения электромагнитной индукции

Рис. 5. Внешняя часть электрической цепи

Произведя интегрирование и подставив уравнение внешней цепи (рис. 5), имеем:

$$\left[R_p + R_o + F(v_s - \frac{1}{2} v_e) \right] I + \left[F(x_c - \delta/2) + L_c \right] \frac{dI}{dt} + U = 0, \quad (2.14)$$

$$I = - C \frac{dU}{dt}, \quad (2.15)$$

U - напряжение на конденсаторе,

$$R_p = \frac{1}{2\pi} \frac{1}{\sigma} \frac{1}{g} \ln(r_i/r_2) \quad (2.16)$$

2.5. Уравнение энергии

Уравнение закона сохранения энергии записано в виде

$$\frac{d}{dt} \iiint_V (e + e_k) dV = \iiint_V (\vec{j} E) dV - \iint_{\partial V} p(\vec{v} ds) - \iint_{\partial V} q_{rad} ds. \quad (2.17)$$

В этой записи пренебрегается работой силы трения, потерями тепла связанными, например, с теплопроводностью. Член с q_{rad} представляет потери сгустка из излучения, обсуждаемый далее. Пронтегрировав по объему сгустка, имеем

$$\frac{d}{dt} \left(E + \frac{v_e^2}{12} \right) = (R_p - \frac{1}{12} F v_e) I^2/n - Q_{rad} \quad (2.18)$$

здесь E - внутренняя удельная энергия сгустка. При вычислении учтено, что нормальная компонента скорости на границах плазмостекла максимал равна нулю и что давление на свободных границах сгустка обращается в нуль. По этой причине в выражении (2.18) отсутствует член, связанный с работой сил давления.

По материалам [17-20] Полящуком А.Я. были построены табличные функции зависимости массовых интегральных коэффициентов поглощения осредненных по Планку и по Росселанду в широком диапазоне температур и плотностей. Анализ этих зависимостей показывает, что отношение толщины сгустка к длине пробега фотона при плотностях и температурах полученных расчетами по модели не учитываемой потери на излучение оказывается более 5-10. Это обстоятельство позволяет в некотором приближении использовать модель сгустка излучающего как абсолютно черное тело [14]. Таким образом радиационный член в уравнении энергии имеет вид:

$$Q_{rad} = \sigma_{st} T^4 S_v / n. \quad (2.19)$$

где S_v - площадь поверхностей сгустка граничащих с вакуумом. Нужно

отметить, что при расчетах уровень потерь на излучение составлял в среднем 10-50% от джоулевой диссипации при $T=1$ eV и превышает ее при температурах выше 3 eV, поэтому их учет необходим для условий ПДР.

2.5.2. Уравнение энергии для всей системы

Для проверки правильности численного решения рассматриваемой системы уравнений получим интегральное выражение закона сохранения энергии описываемой физической системы.

Домножим уравнение цепи (2.14) на I , уравнение движения центра масс (2.8) на v_c , уравнение разлета (2.9) на v_a , интегрируя полученные выражения по времени и затек, комбинируя их с проинтегрированным уравнением энергии, получим:

$$\left[F(x_c - \frac{\delta}{2}) + L_c \right] \frac{I^2}{2} + \frac{C U_0^2}{2} + \frac{m v_c^2}{2} + \frac{m v_a^2}{12} + m E + \int_{0}^{t} \left[(R_p + \frac{F v_a}{6}) I^2 + Q_{rad} \right] dt = C U_0^2 / 2. \quad (2.20)$$

Аналогичное уравнение можно получить для сохранения магнитного потока (путем интегрирования уравнения цепи)

$$L I = - \int [(R_p + R_o) I + 0] dt. \quad (2.21)$$

$$\text{где } L = L_p + L_o.$$

2.6. Полный вид системы уравнений

Приведем для справок полную систему уравнений

- (0) $\frac{d}{dt} U = -I/C,$
- (1) $\frac{d}{dt} I = - \left((U + (R_p + R_o + F(v_c - v_a)/2))T \right) / (F(x_c - \delta/2) + L_c),$
- (2) $\frac{d}{dt} x_c = v_c,$
- (3) $\frac{d}{dt} v_c = F I^2 / m,$
- (4) $\frac{d}{dt} v_a = v_a,$
- (5) $\frac{d}{dt} v_a = S \cdot P \cdot S / m - F \cdot I^2 / m,$
- (6) $\frac{d}{dt} E = (R_p - \frac{F v_a}{12}) \cdot I^2 / m - \frac{v_a \cdot \dot{v}_a}{6} - Q_{rad}.$

Данная система замыкается широкодиапазонными уравнениями состояния $F(E, V)$, $T(E, V)$ и широкодиапазонной зависимостью (T, P) . Для данной системы ставятся следующие начальные условия:

$$U = U_0 ; I = 0 ; x_c = 0 ; v_c = 0 ; \dot{v}_a = 0 ; v_a = 0 ; E = 0. \quad (2.23)$$

Параметры установки были взяты для установки Shiva Star с целью верификации модели.

Рассматриваемая система дифференциальных уравнений требует численного решения. Метод ее интегрирования и описание программы изложены далее.

3. Реальные свойства Al

Для замыкания рассматриваемой системы уравнений необходимо задаться конкретными зависимостями давления P и проводимости от удаленных энергий E и объема V . Табличные функции $P(E,V)$ и $T(E,V)$ для алюминия были представлена Ломоносовым И.В. на основе широкодиапазонных уравнений состояния [15,16], а табличные функции проводимости $\sigma(T,p)$ - Кейдманом [13]. Данные функции сквозным образом описывают свойства Al от твердофазной до плазменной областей.

Так как напряженность магнитного поля в максимуме тока достигает 30 Гц, то заметную роль начинает играть уменьшение проводимости плазмы за счет эффекта Холла. (Параметр Холла достигает значений порядка 1). Таким образом, в выражение для сопротивления сгустка должно подставляться модифицированное значение проводимости

$$\sigma_{mod}(T,p,B) = \sigma(T,p) \frac{1}{1 + \beta^2} \quad (3.1)$$

Введение такой проводимости приводят к необходимости работы с еще одной табличной функцией - концентрацией электронов, что увеличит время счета еще на 20%, поэтому результаты расчетов пока не включают этой модификации.

4. Программная реализация

Выведенная система дифференциальных уравнений нелинейна и требует численного решения.

4.1. Описание программы

Программа расчета состоит из следующих основных блоков: запуска, ввода/вывода, интегрирования, аппроксимации табличных функций. Написана на языке Си. Счет занимает около 6 ч на машине класса IBM PC AT 286/287 12 МГц. Приблизительно 80% времени счета приходится на работу с табличными функциями.

4.2. Описание численного метода

Задача Коши для системы обыкновенных дифференциальных урав-

использование (2.22) решалась численно с помощью неявного метода Адамса второго порядка точности с автоматическим выбором шага интегрирования. Выбор данного метода вызван его хорошей устойчивостью (неявность), наибольшей быстротой среди неявных методов [10-12] и простотой (отсутствием вообще) процедуры пересчета предыдущих значений при изменении шага интегрирования.

Для дальнейшего изложения запишем систему ОДУ (2.22) в виде

$$\frac{d}{dt} \vec{Y}(t) = \vec{F}(\vec{Y}) \quad (4.1)$$

и обозначим шаг интегрирования через τ . Сущность алгоритма заключается в следующем. По значению $\vec{Y}(t)$ на данном временном шаге по методу Ньютона вычисляется прогнозируемое значение \vec{Y} на следующем:

$$\vec{Y}_{\text{прог}}(t+\tau) = \vec{Y}(t) + \tau \vec{F}(\vec{Y}(t)). \quad (4.2)$$

Далее с помощью значений $\vec{Y}(t)$ и $\vec{Y}_{\text{прог}}(t+\tau)$ вычисляется скорректированное значение $\vec{Y}_{\text{кор}}(t+\tau)$.

$$\vec{Y}_{\text{кор}}(t+\tau) = \vec{Y}(t) + \frac{\tau[\vec{F}(\vec{Y}(t)) + \vec{F}(\vec{Y}_{\text{прог}}(t+\tau))]}{2}. \quad (4.3)$$

По разности $\vec{Y}_{\text{прог}}(t+\tau) - \vec{Y}_{\text{кор}}(t+\tau)$ можно грубо судить о локальной ошибке усечения [10,12]. Для выбора шага интегрирования рассматривалась следующая величина:

$$e = \max \left[|\vec{Y}_{\text{кор}}^i - \vec{Y}_{\text{прог}}^i| / (|\vec{Y}_{\text{кор}}^i| + \vec{Y}_0^i) \right], \quad (4.4)$$

где \vec{Y}_0^i есть некоторые малые неотрицательные величины, позволяющие избежать деления на ноль. Если данная ошибка оказывалась больше 0.01%, то шаг уменьшался вдвое и описанные операции повторялись. После такого выбора шага производилось несколько итераций по формуле (4.3). Сходимость контролировалась по формуле (4.4). Если скорость сходимости была мала (или ее вообще не было) шаг уменьшался вдвое. Если ошибка (4.4) была меньше 0.001%, то значение шага интегрирования для начала расчета $\vec{Y}(t+2\tau)$ увеличивалось вдвое. Нужно отметить, что в процессе счета шаг интегрирования изменился на 2-3 порядка, что демонстрирует необходимость его подстройки во время счета.

4.3 Аппроксимация табличных функций

Аппроксимация двухмерных табличных функций $z(x,y)$ проводилась на логарифмической сетке. С помощью бинарной функции поиска определялась ячейка в которой находится конкретные x и y . Далее про-

водилась непрерывная кусочно-линейная интерполяция с использованием значений в центральной точке ячейки, вычисленного как среднее арифметическое значение в окружающих узлах сетки. Данный метод имеет второй порядок точности. Нужно отметить, что время необходимо для аппроксимации табличных функций является наиболее определяющим для времени счета, поэтому был выбран метод, дающий приближенное качество при наибольшей быстроте.

4.4 Искусственная вязкость

Было замечено, что при расчете твердофазной и жидкой областей (до энергии 3,29 кДж/г) подстраиваемый шаг интегрирования становится очень малым, что приводит к разному увеличению времени счета (оценочно порядка 100 ч). Причина изменения шага заключается в его подстройке для корректного описания возникающих колебаний толщины сгустка. Природа этих колебаний акустическая. Действительно, зашумленное уравнение разлета в терминах удельного объема $V = \text{Sh}/\pi$ и разложения его по степеням малости $V - V_0$, где V_0 — некоторый равновесный объем (член PI^2 относительно мал в начальные времена развития сгустка):

$$\frac{d^2}{dt^2} V = -8 \left(\frac{\delta}{\pi} \right)^2 \frac{\delta P}{\delta V} \Big|_{V=V_0} (V - V_0),$$

так как скорость звука

$$c_s = V \left| \frac{\delta P}{\delta V} \right|^{1/2} \quad \text{и} \quad \frac{\delta P}{\delta V} < 0,$$

то уравнение (2.13) принимает вид:

$$\frac{d^2}{dt^2} V = -8 \left(\frac{c_s}{\delta_0} \right)^2 (V - V_0).$$

Видно, что характеристическое время колебаний есть $\delta_0 / (8^{1/2} c_s)$ и имеет порядок 10^{-10} с. Движение точки описываемой состояния сгустка в плоскости плотность — удельная энергия при энергиях меньше энергии плавления происходит в узкой трубке ограниченной изобарами 1GPa и -1GPa. Малое изменение толщины сгустка относительно некоторой равновесной приводит к разному возрастанию возвращающего давления и поэтому осредненное движение точки описываемой состояния системы будет проходить вблизи изобары $P = 0$. В силу вышеизложенного был использован прием введения искусственной вязкости: в уравнение разлета (2.13) был добавлен член $-frV$, гасящий колебания. Коэффициент fr выбирается таким образом, чтобы модифицированное

уравнение (2.13) имело слабо осциллирующее решение. Выбор коэффициента f_T , много больше критического (при котором корни соответствующего характеристического уравнения становятся чисто действительными, его порядок 10^{-10}) увеличивает время реакции системы на изменения давления (вызванные увеличением внутренней энергии за счет джоулевой диссипации) и приводит к огромным давлениям при выходе из трубы на плоскости Е, V. Поэтому коэффициент трения f_T был выбран 10^9 . Нужно отметить, что введение искусственного трения ускорило счет в десятки раз.

5. Результаты

Результаты вычислений представлены на рис. 6-13. Как было указано во введении, эти результаты получены для параметров установки Shiva Star, и, таким образом, качество модели может быть проверено сравнением с экспериментом.

5.1 Сравнение с экспериментом

В работе [21] даны результаты измерений магнитными пробниками установленными в стволе магнитной пушки расположенным на расстояниях 2.3(Н 1), 4.3(Н 2), 7.3(Н 3) см от начала пушки, причем первый располагается позади проволочной сетки, а остальные два - впереди. Из показаний первого пробника можно получить зависимость разрядного тока от времени, а по показаниям остальных можно судить о скорости движения сгустка и его толщине. Сравнение экспериментального и расчетного разрядных токов (рис. 7) показывает довольно хорошее совпадение (в пределах 10%) кривых. Более того, пиковые значения тока и время его достижения описаны с точностью, находящейся в пределах точности снятия кривой тока с экспериментального графика. Задержанное значение тока можно объяснить тем, что модельное уравнение цепи (2.14) содержит член $-Fv_z I/2$, который существенным образом уменьшает эффективное сопротивление цепи во время первоначального разлета сгустка, приводя к более высоким значениям тока. Как было показано ранее увеличение массы сгустка за счет эрозии электродов весьма существенно. Учет притока массы снизил бы значение V_z и привел бы к лучшему совпадению рассматриваемых кривых. Нужно отметить, что член динамического сопротивления (пропорциональный V_z) дает вклад в сопротивление цепи вплоть до 10%.

В работе [21] приведена скорость вылета сгустка из пушки равная 80 км/с, что совпадает с расчетным значением скорости движения центра масс при вылете (рис. 9).

Толщина сгустка, оцененная как время наиболее резкого нарастания тока в пробниках № 2 и № 3, умноженная на скорость движения составляет несколько сантиметров, что воспроизводит среднюю толщину

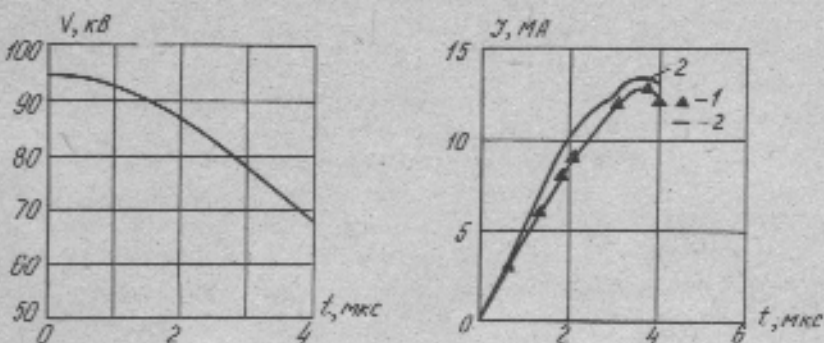


Рис. 6. Зависимость напряжения на конденсаторной батарее от времени

Рис. 7. Зависимость разрядного тока от времени:
1 - эксперимент, 2 - расчет

иу сгустка 2 см (рис. 10). Конечно, такая оценка толщины сгустка может дать только представление о порядке ее величины (нет прямых указаний на то, какую массу имеет сгусток в экспериментальных условиях. Более "чистое" сравнение может быть сделано при сравнении модели с моделью более высокого уровня описания.

5.2 Пульсации сгустка

Как видно из графиков 10 и 12, поведение толщины сгустка и его температуры немонотонны — сгусток пульсирует.

Природа пульсаций заключается в действии на сгусток двух сил — силы магнитного давления, сжимающего сгусток, и силы газодинамического давления, расширяющей его. Сжатие сгустка магнитными силами может быть объяснено следующим образом: так как плотность тока j постоянна по толщине сгустка, а поле B линейно спадает к правому краю сгустка (см. рис. 3), то для более левых частей сгустка объемная сила $j B$ больше чем для более правых, и, следовательно, более левые части сгустка движутся быстрее правых — сгусток сжимается.

Обе рассматриваемые силы присутствуют в уравнении разлета (2.12) — член газодинамического давления со знаком плюс и магнитного со знаком минус. На рис. 13 представлены зависимости обоих

этих двух давлений от времени. Основываясь на этих графиках разлет сгустка можно описать следующим образом.

Во время электровзрыва и при начальном разете плазменного сгустка член магнитного давления относительно мал и сгусток разлетается под действием внутреннего давления. По мере разлета газодинамическое давление падает, в то время как магнитное (пропорциональное квадрату времени) растет и в некоторый момент оба давления сравниваются, но разлет продолжается в силу инерционности сгустка. При некоторой толщине разлет прекращается и начинается скатие сгустка магнитным давлением и уменьшение толщины сгустка, приводящее к росту внутреннего давления. Далее все происходит по сценарию, обратному описанному.

Аналитическое исследование системы уравнений показывает, что по порядку величины период колебаний равен средней толщине сгустка деленной на скорость звука. Частота может быть представлена как

$$\Omega^2 \approx \frac{16RcT}{\langle \delta \rangle^3}$$

где параметры, заключенные в угловые скобки, есть соответствующие средние величины. Наглядная интерпретация колеблющегося сгустка — две массы на нелинейной пружине, жесткость которой возрастает при сжатии.

Нужно отметить, что реальные колебания толщины сгустка, если они действительно наблюдаются, должны иметь иначе значения скоростей разлета и склонования в силу увеличения массы сгустка. (По-видимому, интенсивность колебаний, — а в расчетах происходит изменение давлений в 500 раз, мало реальна.)

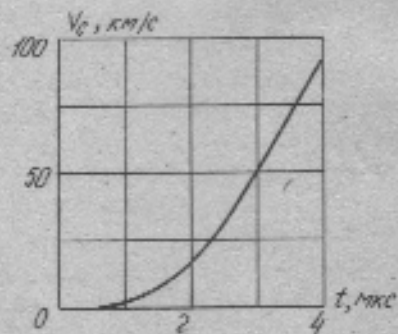
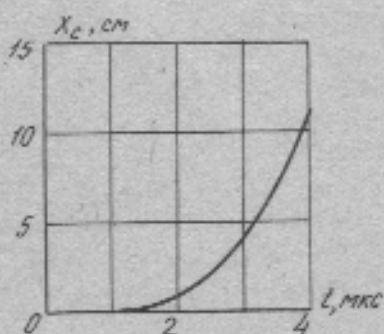


Рис. 8. Зависимость координаты центра масс сгустка от времени
Рис. 9. Зависимость скорости центра масс сгустка от времени

Ссылку на подобные колебания диаметра пинчевого образования, ускоряемого вакуумной электромагнитной пушкой можно найти в работе [25]. Как было указано выше, распределение магнитного поля в плазменном сгустке должно существенно отличаться от линейного, принятого в модели, газодинамическое давление должно зависеть от внутренней координаты сгустка и поэтому более корректное описание колебаний можно получить из модели более высокого уровня описания.

Основные выводы и результаты

1. Создана квазинульмерная модель вакуумной плазменной пушки. Модель описывает следующие характеристики подобных установок: напряжение на ёмкостном накопителе, разрядный ток, скорость и координата центра масс метавекного сгустка и также внутренние параметры сгустка как толщина, скорость разлета, температура, давление и сопротивление.

Замыкание модели производится широкодиапазонными уравнениями состояния и широкодиапазонной зависимостью проводимости, что позволяет рассматривать полное развитие разряда включая электровзрыв. Наряду с реальными свойствами в модель включены потери сгустка на излучение.

2. Создан пакет программ написанный на языке Си для семейства ТВМ РС, использующий явный метод Адамса для решения модельной системы уравнений. Проведены вычисления.

3. Для увеличения скорости расчета стадии электровзрыва предложено ввести в модельное уравнение разлета искусственную вза-

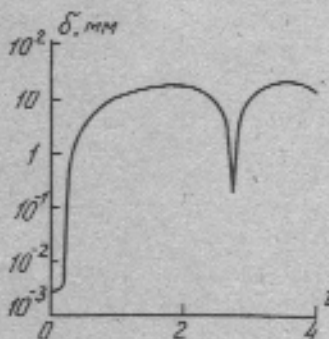


Рис. 10. Зависимость толщины сгустка от времени

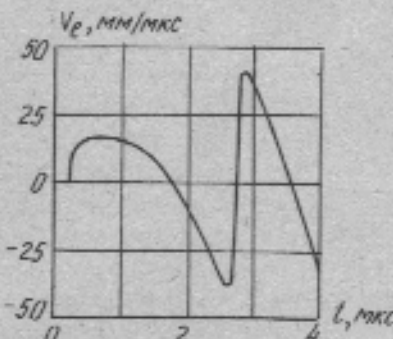


Рис. 11. Зависимость скорости разлета сгустка от времени

кость. Вычислено значение коэффициента вязкости. Указанный прием позволил снизить время расчета с оценочно 100 до 6 ч.

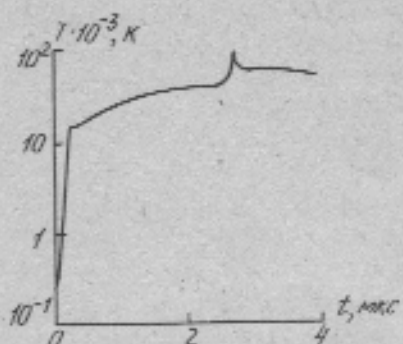


Рис. 12. Зависимость температуры сгустка от времени

Рис. 13. Сравнение газодинамического (1) и магнитного (2) давлений

4. Сравнение с имеющимися экспериментальными данными показывает, что модель с точностью в пределах 10% предсказывает поведение экспериментальной кривой тока и хорошо описывает время достижения максимума тока. Кроме того скорость вылета сгустка из пушки совпадает с экспериментальной, толщина сгустка и его температура имеют те же характерные значения что и в эксперименте.

5. Обнаружены пульсации толщины сгустка. Дана интерпретация.

6. Проведены оценки и указано на необходимость учета уменьшения проводимости за счет эффекта Холла и увеличения массы сгустка за счет орозии электродов.

Как было отмечено выше, в результате расчетов было обнаружено явление пульсаций толщины сгустка. Поэтому дальнейшее развитие моделирования плазмодинамического разряда, видимо, следует проводить в направлении исследования этих пульсаций. Так как развитие сгустка имеет существенно одномерный характер, то вопрос о существовании колебаний должен быть решен расчетами по одномерной модели. Если такое моделирование даст положительный ответ, то рассмотренную в настоящей работе модель можно будет использовать для параметрических исследований с целью определения области параметров установок, где пульсации могут быть обнаружены. Другое применение модели может заключаться в ее использовании для расчета области параметров сгустка в начальной стадии развития, где важно

Учитывать эффекты неидеальности. И, таким образом, подготовки начальных условий для "газовой" одномерной программы.

Авторы работы выражают благодарность Матвеевой Е.Н., Матвееву И.Ю., Лихачеву А.П. и Янковскому Б.Д. за активное содействие в создании и обсуждении материала данного препринта.

Литература

1. Turchi P.J. et al. Review of Plasma Flow Switch Development, IEEE Transactions in Plasma Science, December 1987, V.PS-15, No 6.
2. Shearer J.W. et al., "Explosive-Driven Magnetic Field Compression Generators", J.Appl.Phys., 1968, V.39, p.2102.
3. Pavlovskii A.J. et al." A Multi-Wire Helical Magnetic Cusplation Generator", 1990,Megagauss Physics and Technology, P.-J.Turchi Ed. New York, Plenum.
4. Lindemuth I.R. et al., J.Appl.Phys. No 57(9), 1985.
5. Turchi P.J., Caird K.S. and Goforth J.H."Design of a Fast-plate Generator Driving a Plasma Flow Switch."
6. Degnan J.H. et al "Multi-Megajoul Solid Liner Implosions".
7. Buff J., Frese H.H., Giancola A.J., Peterkin R.E. and Roderich H.F. "Simulations of a Plasma Flow Switch", IEEE Transaction, on plasma science, 1987, V.PS-15, No.6, P.766-771.
8. Degnan J.H. et al. "Experimental Results from SHIVA Star Vacuum Inductive Store (Plasma Flow Switch Driven Implosions)", IEEE Transactions, 1987, Plasma Science, V.PS-15, No 6, P. 760-765.
9. Turchi P.J. et al. "Magnetooacoustic Model for Plasma Flow Switching ",in Proc. 4th IEEE Pulsed Power Conf., 1983, P.342.
10. Методы вычислений на ЭВМ: Справочное пособие / В.В.Иванов - Киев: Наукова думка, 1986 .
11. Форсайт Дж., Малькольм Н., Моулдер К. Математические методы математических вычислений, М.: Изд, 1980.
12. Корн Г., Корн Т. Справочник по математике для научных работников и инженеров", М.: Наука, 1984.
13. Беспалов И.Н., Полищук А.Я. Методика расчетов транспортных коэффициентов плазмы в широком диапазоне параметров: Препр. № 1 - 257. - М.: ИЭТГАН, 1988.

14. Зельдович Я. Б., Рабзур Б. П. Физика ударных волн и высокотемпературных гидродинамических явлений. М.: Наука, 1963.
15. Бужман А.В., Канель Г.И., Ни А.Л., Йорков В.Е. Термофизика и динамика интенсивных импульсных воздействий. - Черноголовка: ИХФ АН СССР, 1988.
16. Бужман А.В., Локонсов Ч.Б., Йорков В.Е. Модели широкодиапазонных уравнений состояния вещества при высоких плотностях энергии; Препр. ИВТАН № 6 - 287. - М.: 1990.
17. Zimmerman 1980 JQSRT 23, 517.
18. Naqir 1964 JQSRT 4, 597.
19. More R.M. 1982 JQSRT27, 345.
20. Marcirii R.C., Fontain 1985 JQSRT 34, 115.
21. Бауков А.П., Месник А.С. О характере плавления металлических проводников при импульсном нагреве // Письма в ЖТФ, 1979, Т.5, Вып. 22, С. 1355-1356.
22. Бауков А.П. Экспериментальное исследование начальных стадий электрического взрыва проводников; Автореф.дис....канд. физ.-мат. наук. Новосибирск, 1981.
23. Смолович Н.Н. Электровзрывные преобразователи энергии. - Минск: Наука и техника, 1983.
24. Baker W.L. et al "Multi-Moderator Plasma Flow Switch Driven Liner Implosion", in Proc. 4th IEEE Pulsed Power Conf., P. 653.
25. Колесников Л.М. Электродинамическое ускорение плазмы. - М.: Атомиздат, 1971.

А.П.Деревянко, С.Л.Медин

Квазинульмерная модель ускорения плазменного
сгустка в коаксиале

Препринт № 8-355

Подписано к печати 30.12.92 Формат 60x84/16
Печать офсетная. Уч.-изд.л. 1,3 Усл.печ.л. 1,2
Тираж 200 экз. Заказ № 117 Цена 3 р.

АП "Шанс". 127412, Москва, ул.Ижорская, д.13/19